

Jan 15, 2010

Quantum Impurity Models and the numerical renormalization group (NRG)

K.-G. Wilson Rev Mod Phys. 47, 773 (1975)

→ static properties for general T (temperature)

→ dynamic properties : T. A. Costi & A.C. Hewson (1993)

→ connection to density matrix formalism : DM-NRG (Wojciechowski, 2001)

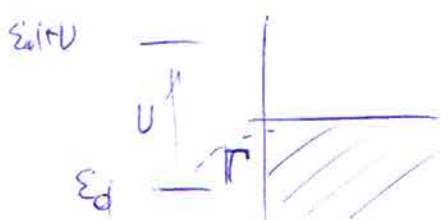
→ real-time evolution based on complete basis set
F. Anders & A. Schiller (2005)

→ complete basis set : general application to
spectral functions (clean derivation) A.W. & Jan v. Delft (2005)

Quantenstelle

single impurity Anderson model (SIAM)

B-field



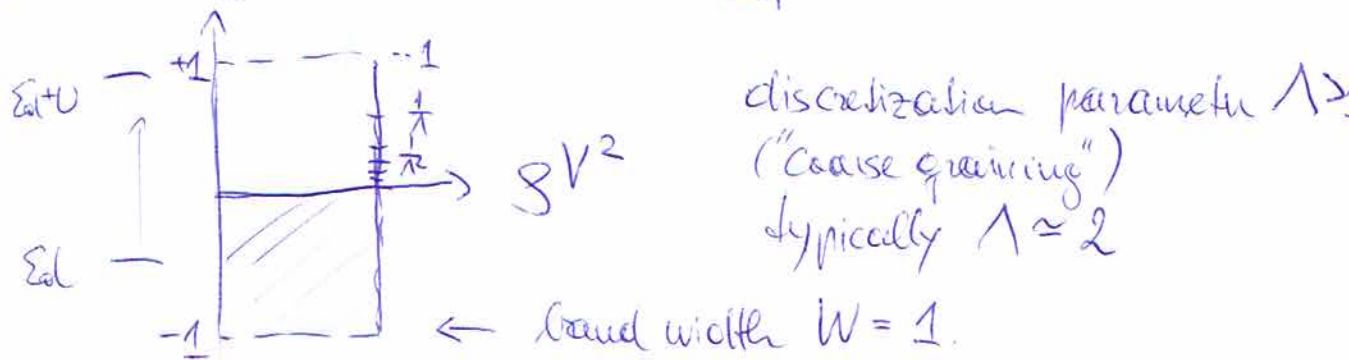
$$H = \sum_{\vec{c}} \epsilon_{\vec{c}} \hat{n}_{\vec{c}\vec{c}} + \sum_{\vec{c}} \int g_{\vec{c}\vec{c}} d\vec{z} V_{\vec{c}\vec{c}} (c_{\vec{c}}^+ c_{\vec{c}} + h.c.) + \sum_{\vec{c}} \int \epsilon_{\vec{c}} d\vec{z} \cdot \hat{n}_{\vec{c}\vec{c}} + \underline{U \cdot \hat{n}_{\text{up}} \cdot \hat{n}_{\text{down}}} \quad (1)$$

$$\hat{n}_{\vec{c}\vec{c}} = c_{\vec{c}}^+ c_{\vec{c}}$$

induction \Rightarrow ground state consists of "many Slater determinants"

$$|4\rangle = \sum_{\{\vec{c}\vec{c}\}} Q_{\{\vec{c}\vec{c}\}} \left(\prod_{\vec{c}\vec{c}} c_{\vec{c}}^+ \right) |1\rangle$$

Wilson's logarithmic discretization



Sequence $\frac{1}{\lambda^n} \rightarrow$ determines discretized states

why logarithmic? expect dynamically generated small energy scale (Kondo screening of impurity spin \rightarrow Kondo temperature T_K)

$$\text{SIAM : } T_K = \sqrt{\frac{U\Gamma}{2}} e^{-\frac{E_i(E_i+U)}{2U\Gamma}} < 0 \quad \text{for } E_i \in [-U, 0]$$

exponentially small, non-analytic!

\hookrightarrow perturbation theory fails for $T < T_K$!

$$(1) \rightarrow H = H_{\text{int}}(E_i, U) + \underbrace{\sum_k V_{kC} (c_{kC}^+ c_k + h.c.)}_{\sim \left(\frac{1}{n}\right)^{\frac{1}{2}}} + \underbrace{\sum_k E_k \hat{a}_{kC}^+}_{\sim \left(\frac{1}{n}\right)^n} \quad (2)$$

$$= \underbrace{\left(\sum_k V_{kC} c_{kC}^+ \right) c_k}_{= \left(\sum_k V_{kC} c_{kC}^+ \right) d_C + h.c.} + \dots$$

$$=: \sqrt{\frac{2\Gamma}{\pi}} f_0^+ \dots \text{Lia. superposition of states in the full-}$$

Lanczos tridiagonalization

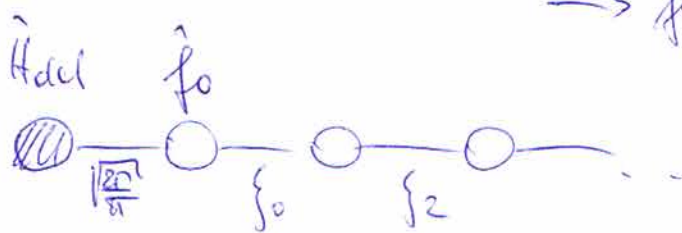
Krylov space method
~1950's

$$H_{\text{bath}} = \begin{pmatrix} & & \\ & \ddots & \\ & & \end{pmatrix} \xrightarrow{\hat{f}_0 \rightarrow U} \begin{pmatrix} & & \\ & \ddots & \\ & & \end{pmatrix}$$

(for each spin the same)

Tridiagonal form
diagonals + 1st off-diagonals

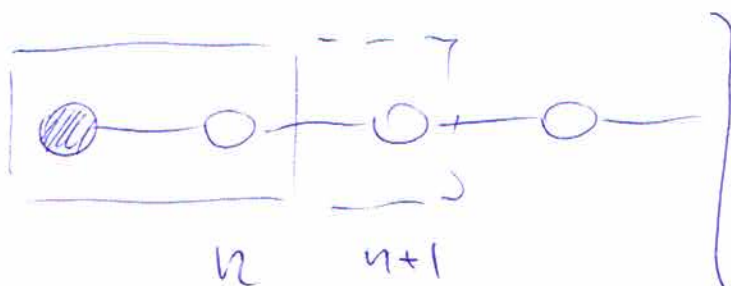
→ form of a "tight binding" chain!



$$(2) \rightarrow H = H_{\text{dd}} + \sqrt{\frac{2\Gamma}{\beta}} (f_0^+ d_0 + h.c.) + \sum_{i=0}^{\infty} \xi_i (f_i^+ f_{i+1} + h.c.) \sim (\lambda)^{-\frac{n}{2}} \quad (3)$$

... Couplings decay exponentially
(known analytically for Wilson chain)

↳ concept of "energy scale separation"



prescription:

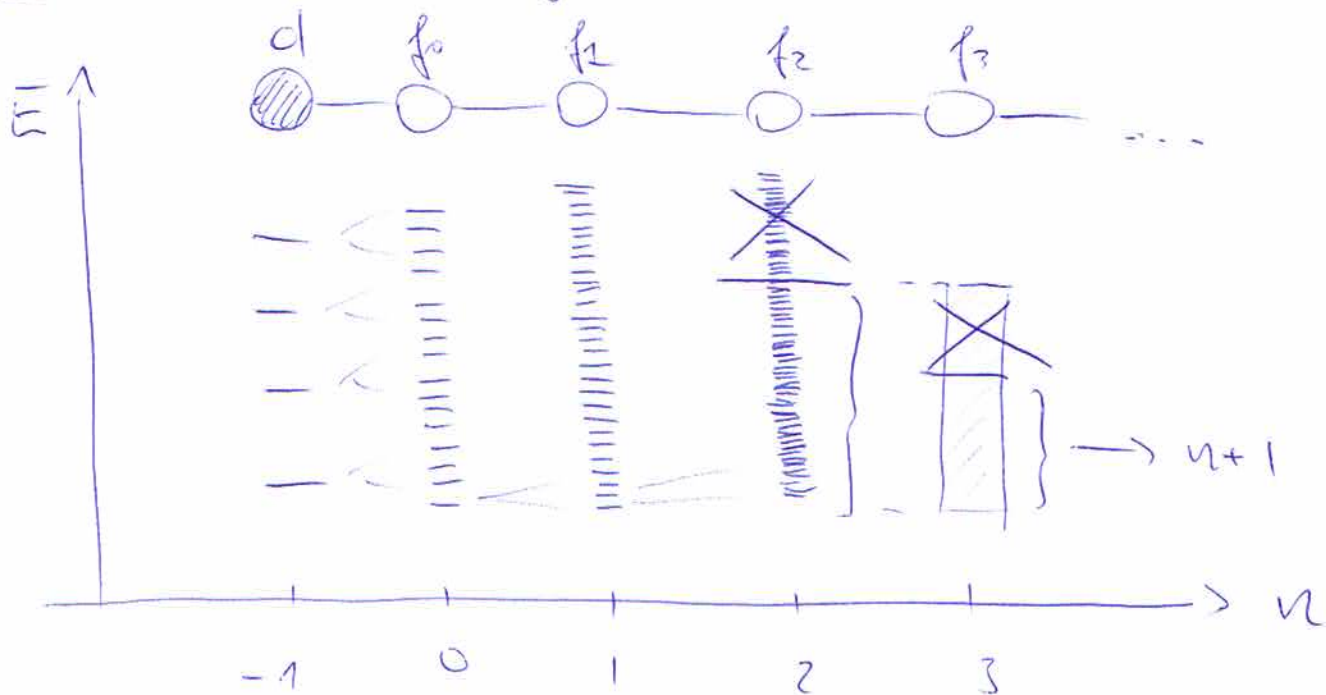
- diagonalize H_n exactly
use this eigenbasis $|S\rangle_n$
to go to / include site($n+1$)
- too many states?

→ skip eigenstates with
largest energies (interested
in low-energy behavior!)

analogy: hydrogen atom

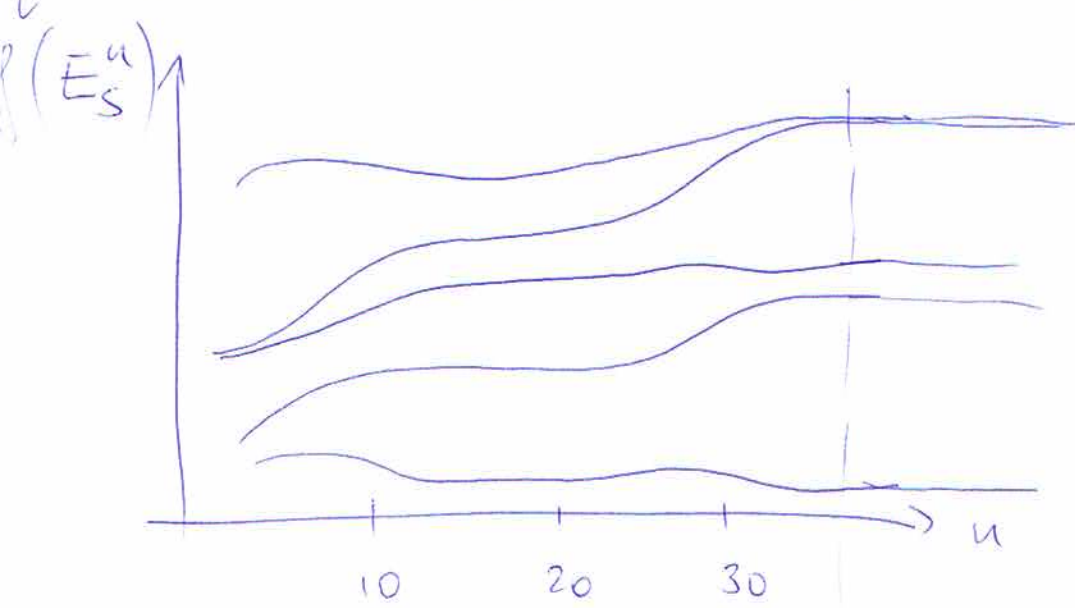
electronic	spin orbit	hyperfine
excited	coupling	structure

Iterative Diagonalisierung



"Energy flow diagram" (finite size Spectrum)

- Grundzustandenergie E_0^n subtrahiert
- mit $\ast \left(\frac{1}{n}\right)^{\frac{n}{2}}$ reskaliert



→ stabile Fixpunkt erreicht

iteratives Diagonalisieren
Kann gestoppt werden ("man
kann nichts mehr neues")

(Konkopfphysik in den
Zuständen $|S\rangle$ beobachtet)

Vollständige Basis

$|00000|000000|$

\uparrow
 n

N

Gesamtlänge der Wilsonkette
die tatsächlich untersucht wird

$|s\rangle_n$

$|e\rangle_n$

Vollständige Basis (Fockraum)
auf dem Rest der Kette bzgl. n

$|se\rangle_n$

Zustände für die gesamte
Wilsonkette $n = -1, 0, 1, \dots, N$

Iteration n :

$|se\rangle_n$

$|se\rangle_n^D$

$|se\rangle_n^K$

"Hochenergiestände", die bei
Iteration n trennbar werden

"Kept" ... Zustände die
für die nächste Iteration
behalten werden

$\Rightarrow |se\rangle_n^D$

sind alle orthogonal aufeinander

(weil $\langle S | S' \rangle_n = \delta_{SS'} \text{ für } n=n'$ und $|e\rangle_n$ orthogonal
per Konstruktion)

$$\sum_{S \in \Sigma} |se\rangle_n^D \langle S e | = \mathbb{1}^{(d^N)}$$

vollständige Basis
auf d^N -dimensionalem
Hilbert Raum \mathcal{H}

$$\bullet H |se\rangle_n \simeq E_s |se\rangle_n$$

NRG Energieschalenspannung

extrem praktisch: kann in der NRG vollständig
benutzt werden (weil quasi-eindimensional)

Anwendung der vollständigen Basis

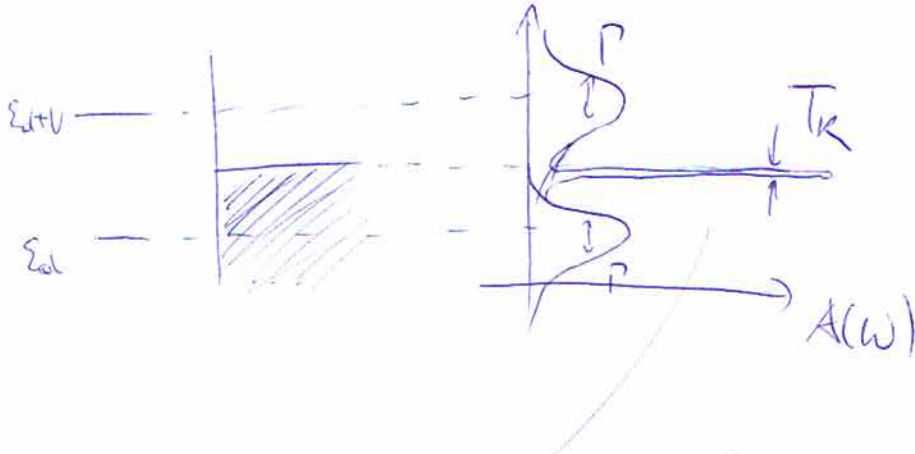
- explizite Zeitabhängigkeit

$$e^{-iHt} |se\rangle_n \approx e^{-iE^{\text{st}}t} |se\rangle_n$$

- Korrelationsfunktionen allgemein mit Bezug auf die Störstelle

z.B.: Spektralfunktion mit $A_d(\omega) = \frac{-i}{\pi} G_d(\omega)$

wobei $G_d(t) = -i \langle \{ c(t), c^\dagger \} \rangle_T$



extra schmale Resonanz an
der Fermikante \rightarrow Kante abschirmung
des SIAM Störstellenspins durch
das Rad

- Einschränkung: Diskretisierung $\Lambda \gtrsim 1.7$
um Energieschreinigung zu gewährleisten
Andererseits: Kontinuumslimit $\Lambda \rightarrow 1^+$

\hookrightarrow endliche Auflösung von spektakulären Eigenschaften bei endlicher Frequenz